



# COMPTE RENDU - TRAVAUX PRATIQUES

Numerical Tour of Image Processing for denoising

## Groupe

URQUIZA Andrea

BECKER Gonzalo

Date d'édition : 25 juin 2025

Version : 1.0



**IMT Atlantique**

Bretagne-Pays de la Loire  
École Mines-Télécom

---

## Sommaire

<b>1. Établissement d'une base d'ondelettes</b>	<b>1</b>
1.1. Étape de décomposition	1
1.1.1. Filtre associé à la fonction d'échelle	1
1.1.2. Choix d'un filtre $g$ associé à l'ondelette $\psi$	1
1.1.3. Calcul de l'ondelette $\psi$ à partir du filtre $g$	1
1.2. Étape de Reconstruction	2
1.2.1. Choix de $\tilde{h}$ .	2
1.2.2. Choix de $\tilde{g}$ .	2
<b>2. Décomposition/reconstruction multi-échelle par ondelettes</b>	<b>3</b>
2.1. Préliminaires	3
2.1.1. Sous-échantillonnage d'un signal par mise à zéro d'un point sur deux	3
2.1.2. Insertion de zéros dans un signal.	3
2.1.3. Relation entre convolution et corrélation	3
2.2. Décomposition multi-échelle d'un signal	3
<b>3. Établissement d'une base d'ondelettes</b>	<b>5</b>
3.1. Étape de décomposition	5
<b>4. Préliminaire</b>	<b>6</b>
4.1. Fonction à trous	6
<b>5. Décomposition/reconstruction multi-échelle par ondelettes</b>	<b>7</b>
5.1. Construction des filtres de décomposition et de reconstruction pour un niveau donné	7
5.2. Calcul des coefficients d'approximation et de détail d'un signal	8
5.3. Reconstruction du signal décomposé	10
5.4. Image reconstruite.	10
5.5. Conclusion.	11

## 1. Etablissement d'une base d'ondelettes

### 1.1. Étape de décomposition

Pour construire une base orthogonale de chaque  $V_j$ , une fonction unique appelée fonction d'échelle  $\phi$  peut être dilatée et translatée.

#### 1.1.1. Filtre associé à la fonction d'échelle

L'approximation d'une fonction est réalisée par une projection orthogonale sur  $V_j$ . Toute fonction d'échelle est spécifiée par un filtre discret appelé filtre miroir conjugué. De cette façon, on peut arriver à la relation suivante, qui résulte du développement pour trouver la base orthonormale.

$$\widehat{\phi}(2\omega) = \frac{1}{\sqrt{2}} \widehat{h}(\omega) \widehat{\phi}(\omega)$$

Sachant  $\widehat{\phi}(\omega)$ , on procède à obtenir  $\widehat{h}(\omega)$  :

$$\left( \frac{\sin(\omega)}{\omega} \right)^3 e^{-i\omega} = \frac{1}{\sqrt{2}} \widehat{h}(\omega) \left( \frac{\sin(\omega/2)}{\omega/2} \right)^3 e^{-i\omega/2}$$

Étant donné que

$$\sin(\omega) = 2 \sin\left(\frac{\omega}{2}\right) \cos\left(\frac{\omega}{2}\right)$$

il est possible de résoudre pour obtenir :

$$\widehat{h}(\omega) = \sqrt{2} \cos^3\left(\frac{\omega}{2}\right) e^{-i\omega/2}$$

#### 1.1.2. Choix d'un filtre $g$ associé à l'ondelette $\psi$

Selon la définition de  $\widehat{g}$ , on sait que :

$$\widehat{g}_1(\omega) = e^{-i\omega} \widehat{h}^*(\omega + \pi)$$

En sachant  $\widehat{h}(\omega)$  et que  $\cos(\omega/2 + \pi/2) = -\sin(\omega/2)$ , le résultat suivant est obtenu :

$$\widehat{g}_1(\omega) = -i \sqrt{2} \sin^3\left(\frac{\omega}{2}\right) e^{-i\omega/2}$$

Dans le cadre de la théorie des ondelettes, il est possible de montrer que la base construite est orthogonale si et seulement si les deux conditions suivantes sont satisfaites :

$$|\widehat{g}(\omega)|^2 + |\widehat{g}(\omega + \pi)|^2 = 2$$

$$\widehat{g}(\omega) \widehat{h}^*(\omega) + \widehat{g}(\omega + \pi) \widehat{h}^*(\omega + \pi) = 0$$

La deuxième relation implique la quadrature entre  $\widehat{g}$  et  $\widehat{h}$ . Avec la nouvelle fonction  $\widehat{g}$ , il est facile de démontrer que la quadrature ne se respecte plus, ou, autrement dit, que la base construite n'est plus orthogonale.

#### 1.1.3. Calcul de l'ondelette $\psi$ à partir du filtre $g$

Les ondelettes orthogonales portent les détails nécessaires pour augmenter la résolution d'une approximation du signal. Il est possible d'obtenir la relation suivante pour  $\psi$  :

$$\widehat{\psi}(\omega) = \frac{1}{\sqrt{2}} \widehat{g}(\omega/2) \widehat{\phi}(\omega/2)$$

Sachant  $\widehat{\phi}$  et  $\widehat{g}$ , on obtient  $\widehat{\psi}$  :

$$\widehat{\psi}(\omega) = -\frac{i\omega}{4} \left( \frac{\sin(\omega/4)}{\omega/4} \right)^4 e^{-i\omega/2}$$

## 1.2. Étape de Reconstruction

### 1.2.1. Choix de $\tilde{h}$

Pour que la reconstruction soit parfaite, il est nécessaire que

$$\widehat{h}^*(\omega) \widehat{\tilde{h}}(\omega) + \widehat{h}^*(\omega + \pi) \widehat{\tilde{h}}(\omega + \pi) = 2$$

Si on prend  $\tilde{h} = h$ , elle devient

$$\left| \widehat{h}(\omega) \right|^2 + \left| \widehat{h}(\omega + \pi) \right|^2 = 2$$

ce qui, par définition de  $h$ , est toujours satisfait.

### 1.2.2. Choix de $\tilde{g}$

Les relations entre  $\tilde{g}$ ,  $\widehat{h}$ ,  $\widehat{\tilde{h}}$  et  $\widehat{g}$  pour assurer une reconstruction parfaite sont les suivantes :

$$\widehat{h}^*(\omega + \pi) \widehat{\tilde{h}}(\omega) + \widehat{g}^*(\omega + \pi) \widehat{\tilde{g}}(\omega) = 0$$

$$\widehat{h}^*(\omega) \widehat{\tilde{h}}(\omega) + \widehat{g}^*(\omega) \widehat{\tilde{g}}(\omega) = 2$$

Si on prend la deuxième, où  $\tilde{h} = h$ , on arrive au résultat recherché :

$$\widehat{\tilde{g}}(\omega) = \frac{2 - \left| \widehat{h}(\omega) \right|^2}{\widehat{g}^*(\omega)}$$

## 2. Décomposition/reconstruction multi-échelle par ondelettes

### 2.1. Préliminaires

#### 2.1.1. Sous-échantillonnage d'un signal par mise à zéro d'un point sur deux

$$\begin{aligned} \sum_{n=-\infty}^{\infty} x_{2e}[n] e^{-in\omega} &= \sum_{n=-\infty}^{\infty} (x[2n] e^{-i2n\omega} + x[2n+1] e^{-i(2n+1)\omega}) = \\ \frac{1}{2} \left( \sum_{n=-\infty}^{\infty} (x[2n] e^{-i2n\omega} + x[2n+1] e^{-i(2n+1)\omega}) + \sum_{n=-\infty}^{\infty} (x[2n] e^{-i2n\omega} - x[2n+1] e^{-i(2n+1)\omega}) \right) &= \\ \frac{1}{2} \left( \sum_{n=-\infty}^{\infty} x_{2e}[n] e^{-in\omega} + \sum_{n=-\infty}^{\infty} x_{2e}[n] e^{-in(\omega+\pi)} \right) &= \frac{1}{2} (\hat{x}[\omega] + \hat{x}[\omega + \pi]) \end{aligned}$$

#### 2.1.2. Insertion de zéros dans un signal

$$\hat{\check{x}} = \sum_{n=-\infty}^{\infty} \check{x}[n] e^{-in\omega} = \sum_{n=-\infty}^{\infty} x[n] e^{-i2n\omega} = \hat{x}[2\omega]$$

#### 2.1.3. Relation entre convolution et corrélation

Le filtrage d'un signal  $x(t)$  par un filtre  $h$  est donné par une convolution :

$$(x * h)(t) = \int_{-\infty}^{\infty} x(\tau) h(t - \tau) d\tau$$

En temps discret, cela devient

$$(x * h)[n] = \sum_{k=-\infty}^{\infty} x[k] h[n - k]$$

Alors que la corrélation entre  $x$  et  $h$  se calcule comme :

$$R(x, h) = \sum_{k=-\infty}^{\infty} x[k] h[k - n]$$

d'où la possibilité de remplacer  $\bar{h}[n] = h[-n]$ .

### 2.2. Décomposition multi-échelle d'un signal

A fin d'obtenir les coefficients sachant

$$a_j[p] = \langle x(t) | \phi_{j,p} \rangle$$

on démontre les relations entre les coefficients d'approximation et de détail du niveau

$j$

## 2. Décomposition/reconstruction multi-échelle par ondelettes

$$\phi_{j+1,p} = \sum_{n=-\infty}^{\infty} \langle \phi_{j+1,p}, \phi_{j,n} \rangle \phi_{j,n}$$

Étant donné  $t' = 2^{-j}t - 2p$  on a :

$$\langle \phi_{j+1,p}, \phi_{j,n} \rangle = h[n - 2p]$$

Alors :

$$\phi_{j+1,p} = \sum_{n=-\infty}^{\infty} h[n - 2p] \phi_{j,n}$$

Ainsi en prenant le produit interne entre  $f$  et le vecteur de chaque coté de l'équation on obtient l'équation qu'on cherche à démontrer.

Pour démontrer la deuxième équation on fait un traitement pareil :

$$\psi_{j+1,p} = \sum_{n=-\infty}^{\infty} \langle \psi_{j+1,p}, \phi_{j,n} \rangle \phi_{j,n}$$

En prenant  $t' = 2^{-j}t - 2p$

$$\langle \psi_{j+1,p}, \phi_{j,n} \rangle = g[n - 2p]$$

Ainsi on obtient :

$$\psi_{j+1,p} = \sum_{n=-\infty}^{\infty} g[n - 2p] \phi_{j,n}$$

Ainsi en prenant le produit interne entre  $f$  et le vecteur de chaque coté de l'équation on obtient l'équation qu'on cherche à démontrer.

### 3. Établissement d'une base d'ondelettes

#### 3.1. Étape de décomposition

On définit les fonction d'après les résultats obtenus dans la partie théorique :

```
function phi = Phi(w) % fonction d'echelle
    phi = (sin(w./2)./w./2).^3 .* exp(-1i.*w/2);
end
```

```
function h = H(w) % filtre echelle
    h = sqrt(2).*cos(w./2).^3.*exp(-1i.*w./2);
end
```

```
function g = G(w)
    g = -1i.*sqrt(2).*sin(w./2).*exp(-1i.*w/2);
end
```

```
function psi = Psi(w)
    psi = -1i.*(w./4).*exp(-1i.*w./2).*(sin(w./4)/(w./4)).^4;
end
```

Les figures montrées ci-après illustrent les spectres de la fonction d'échelle et l'ondelette et les filtres associées respectivement Fig. 1. Dans la Figure 2 on observe les filtres de reconstruction associés a chaque fonction. Finalement dans la Figure 3 on illustre les coefficients de la réponse impulsionnelle des filtrés calculés entre l'instant -2 a l'instant 3.

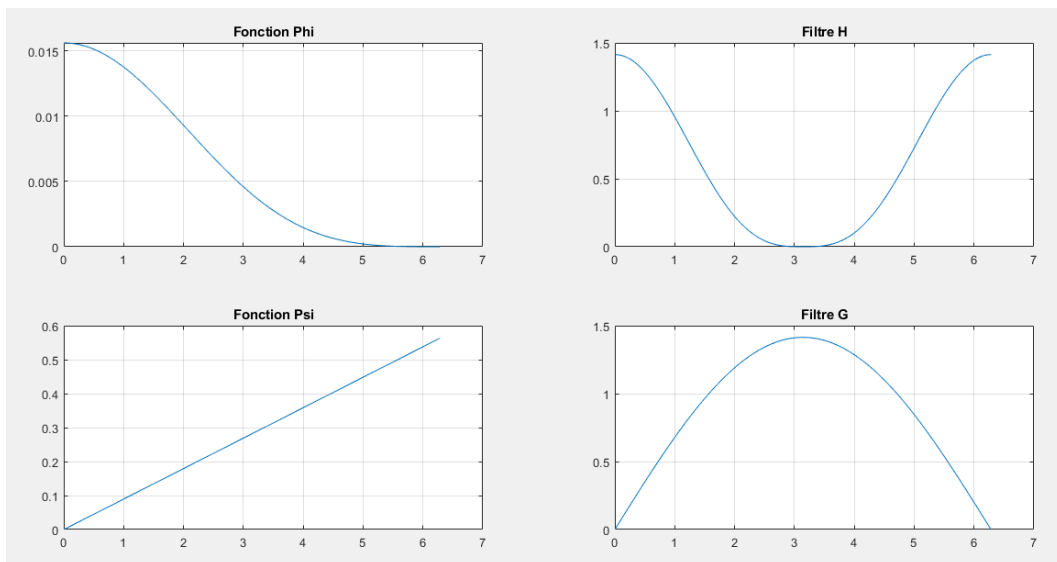


FIGURE 1 – Courbes fonctions et filtres



## 4. Préliminaire

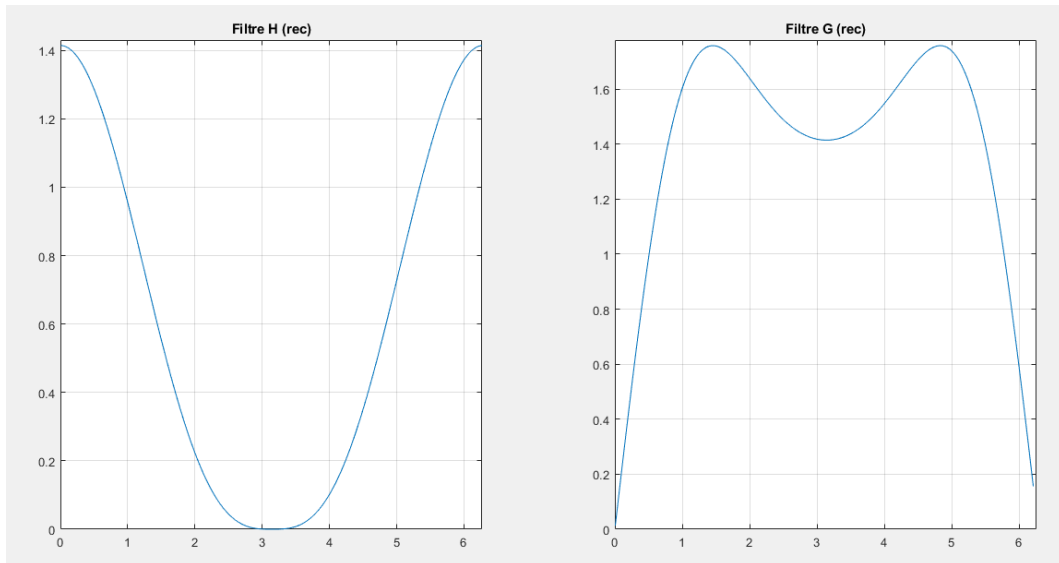


FIGURE 2 – Filtres de reconstruction

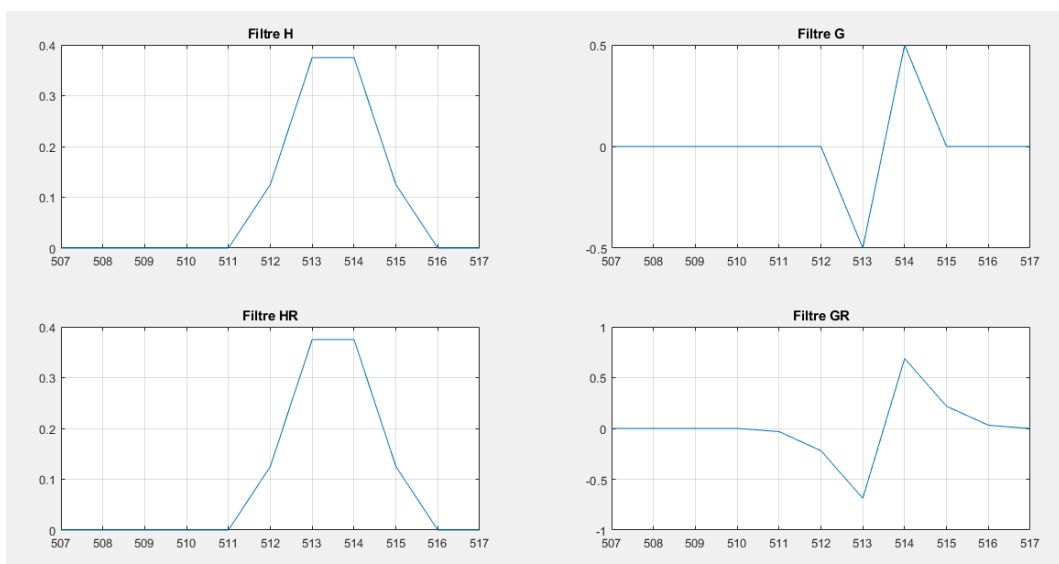


FIGURE 3 – Récupération des coefficients

## 4. Préliminaire

### 4.1. Fonction a trous

La fonction `FiltreATrous(signal, echelle)` qui insère  $2^{\text{echelle}}$  zéros entre chaque valeur du signal.

```
function fn = FiltreATrous(signal, echelle) % fonction a trous
    n = 2^(echelle)-1;
    fn_prov = reshape([signal; zeros(n,numel(signal))],1,[]); %signal
    1D
    fn = [zeros(1, floor(n/2)) fn_prov(1:(numel(fn_prov)-n)) zeros(1,
        n-floor(n/2))];

end
```

## 5. Décomposition/reconstruction multi-échelle par ondelettes

### 5.1. Construction des filtres de décomposition et de reconstruction pour un niveau donné

La fonction `FiltreATrousFrequentiel(filtre0, n, nEch)` retourne le spectre du filtre a trous de niveau `n` a partir de niveau 0 sur `nEbEch` échantillons en appliquant le zéro padding et la fonction qui implémente l'algorithme a trous.

```
function fn = FiltreATrousFrequentiel(filtre0, n,nEch) % fonction a
    trous
    f1 = FiltreATrous(filtre0, n);
    fn = fft([f1 zeros(1,nEch-numel(f1))]);
end
```

Dans la figura 5 on observe la réponse impulsionnelle des filtres de décomposition et de reconstruction. On remarque que a chaque niveau d'échelle on obtient une structure différent du filtre.

Dans la figure 6 on observe la réponse fréquentielle du filtre a trous ou tous les filtres ont les mêmes nombre de coefficients mais différente dilatation.

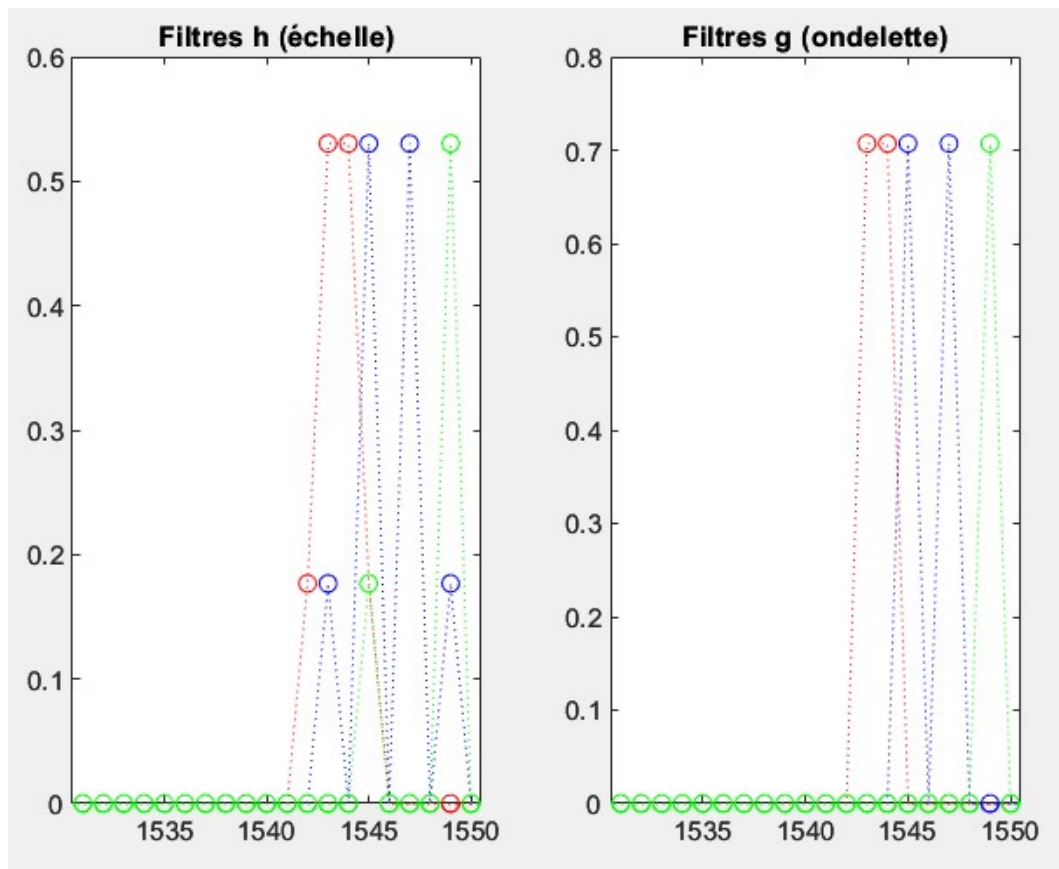


FIGURE 4 – Filtres a trous temporel

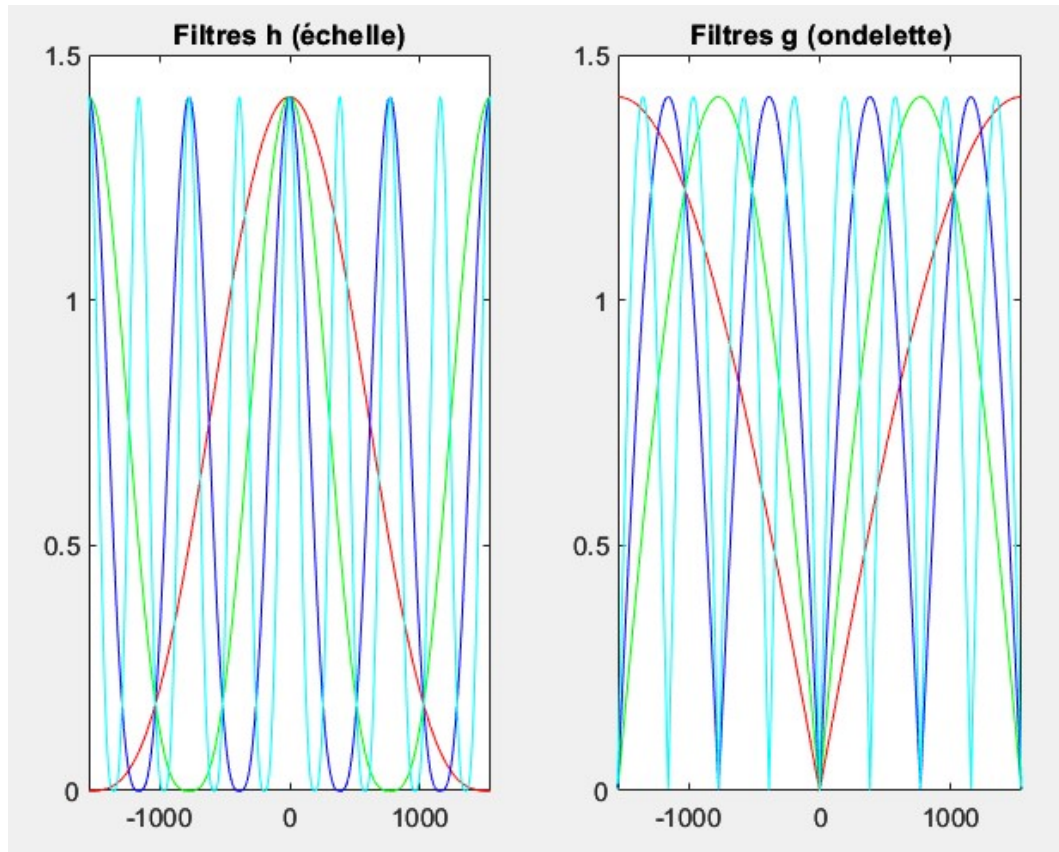


FIGURE 5 – Filtres à trous fréquentiel

## 5.2. Calcul des coefficients d'approximation et de détail d'un signal

La fonction `Decomposition` calcule les coefficients d'approximation et de détail du signal en passant par le domaine fréquentiel.

```
function [ax, dx] = Decomposition(signal , hf , gf)

    nbScale = size(hf,1);
    nbEch = size(signal,2);

    ax = zeros(nbScale+1, nbEch);
    dx = zeros(nbScale+1, nbEch);

    ax(1,:) = signal;

    for s = 1:nbScale
        ax(s+1,:) = ax(s,:).*hf(s,:);
        dx(s+1,:) = ax(s,:).*gf(s,:);
    end
end
```

On obtient les coefficients d'approximation et de détail pour différentes échelles. Dans les figures montrées ci-après on peut observer les spectres des coefficients pour un niveau donné. Ainsi on observe la nature du filtre à chaque niveau ou chacune à la même quantité de coefficients mais la différence d'échelle donne largeurs de bandes différentes.

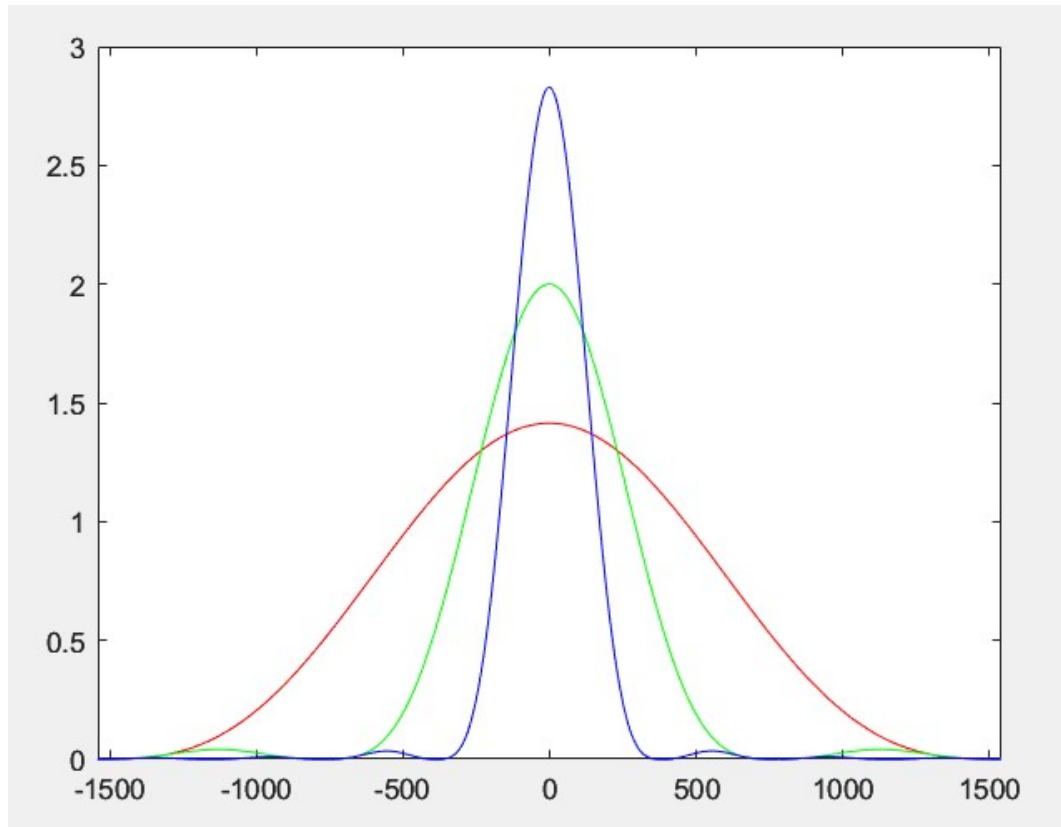


FIGURE 6 – Nature du filtrage de la fonction d'approximation opéré par la fonction d'échelle

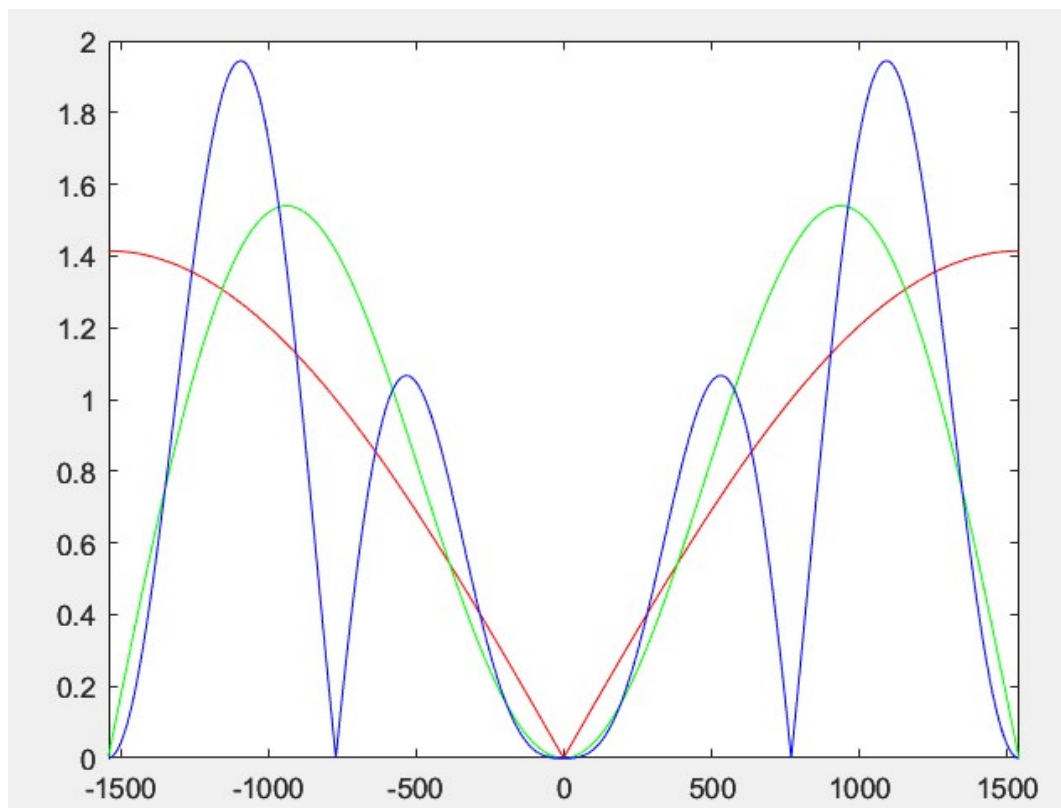


FIGURE 7 – Nature du filtrage de la fonction d'échelle opéré par la fonction d'échelle

## 5. Décomposition/reconstruction multi-échelle par ondelettes

### 5.3. Reconstruction du signal décomposé

Afin de reconstruire les coefficients d'approximation et de détails du niveau le plus profond. La fonction montrée ci-après fait cette opération.

```
function signal = Reconstruction(lastAx,dx,hfD,gfD)

    nbScale = size(dx,1)-1 ;
    nbEch = size(dx,2);

    signal = zeros(nbScale+1,nbEch);
    signal = lastAx(1:nbEch);

    %On reconstruit successivement le signal
    for cpt=nbScale:-1:1
        A = signal(1:nbEch).*hfD(1:nbEch);
        B = dx(cpt, 1:nbEch).*gfD(1:nbEch);
        signal(1:nbEch) = (A+B)/sqrt(2);
    end
end
```

La reconstruction obtenue se montre dans la Fig. 9. Ainsi on ignore les emplacements et les échelles de temps qui correspondent au bruit pour reconstruire l'image.

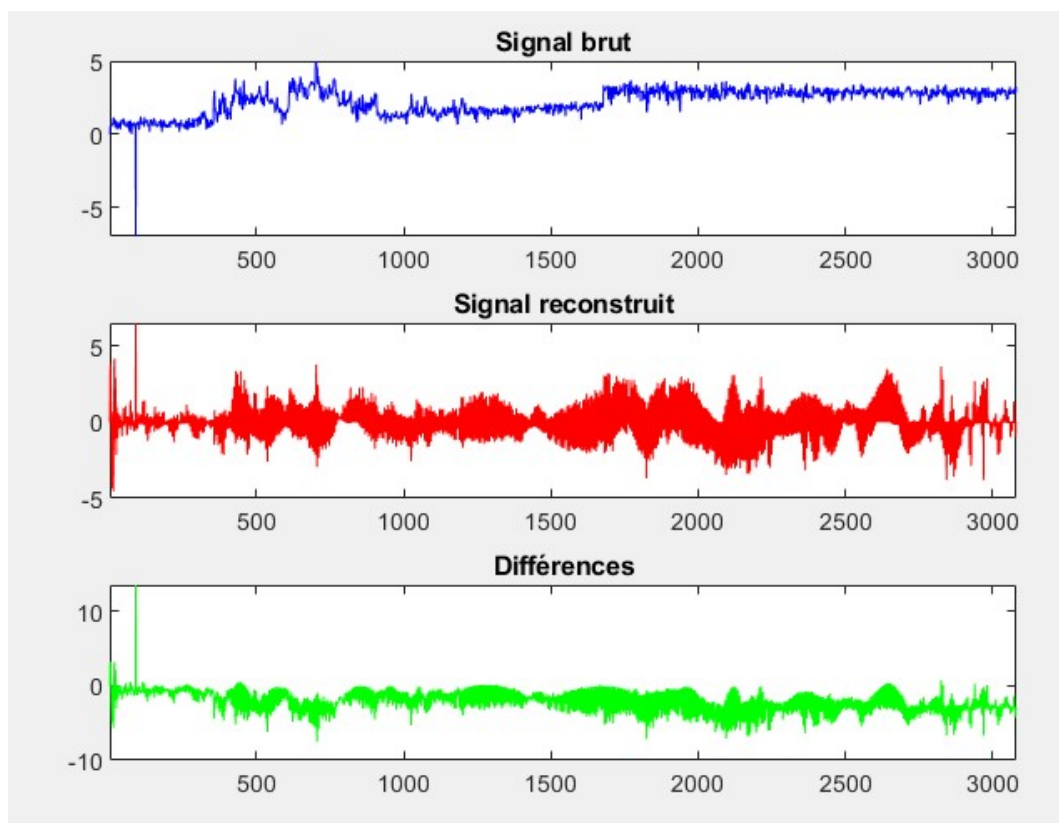


FIGURE 8 – Reconstruction du signal

### 5.4. Image reconstruite

L'image débruitée se montre dans la fig 10. En dépit du bon fonctionnement des fonctions `FiltreATrous` et `FiltreATrousFrequenceiel` le débruitage réalisé sur l'image n'est pas effectif.

## 5. Décomposition/reconstruction multi-échelle par ondelettes

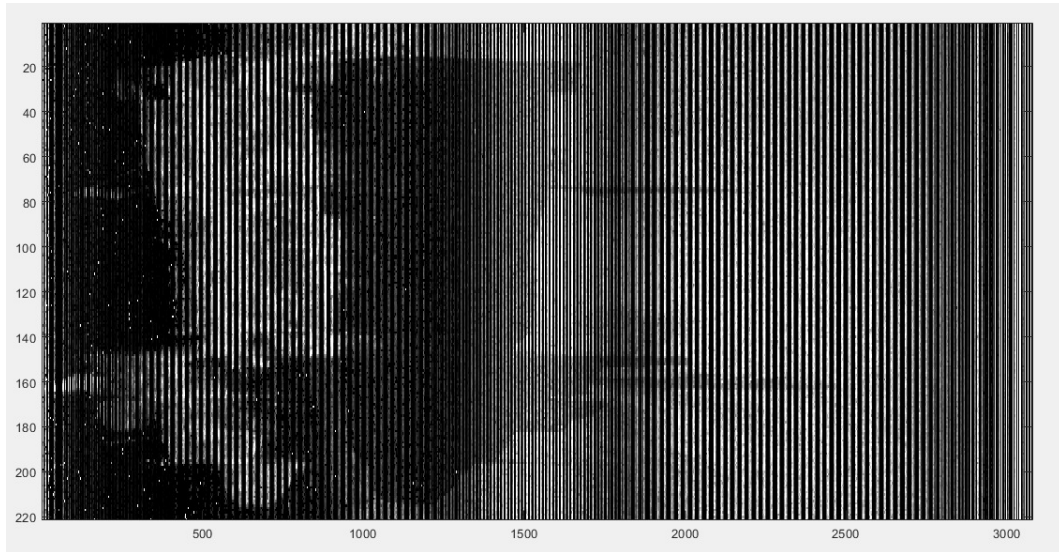


FIGURE 9 – Image reconstruite

### 5.5. Conclusion

Au travers de cette BE on a réussi à mettre en application les ondelettes et l'algorithme à trous pour implémenter le débruitage d'une image.